

دانشگاه صنعتی خواجه نصیرالدین طوسی

# به نام مهربان ترین مهربانان

پروژه پایانی درس مبانی سیستم‌های هوشمند

موضوع:

تخمین وضعیت شارژ باتری بر اساس شبکه عصبی و عصبی-فازی

استاد درس:

دکتر علیرضا فاتحی

دانشجو:

ریحانه هادی پور

زمستان ۱۴۰۰

|    |                                   |
|----|-----------------------------------|
| ۲  | فهرست:                            |
| ۳  | چکیده:                            |
| ۴  | مقدمه:                            |
| ۵  | تعریف SOC:                        |
| ۶  | مدار معادل باتری:                 |
| ۷  | شناسایی توسط شبکه عصبی:           |
| ۷  | آموزش شبکه عصبی:                  |
| ۸  | مقایسه بین انواع آموزش:           |
| ۱۷ | شناسایی توسط مدل‌های عصبی - فازی: |
| ۲۳ | شناسایی توسط مدل ANFIS:           |
| ۲۷ | مراجع:                            |
| ۲۸ | پیوست:                            |

## چکیده:

همراه با گسترش مرزهای دانش، نیاز به ابزار پرتابل علی الخصوص ابزارهای محاسباتی هرچه بیشتر احساس می‌شود، اما چالش اصلی در این راستا داشتن یک منبع انرژی پرتابل و قابل اعتماد و البته برنامه ریزی است. به همین دلیل سعی بر شناسایی مدل باتری بعنوان یک منبع انرژی قابل حمل با هدف تخمین دقیق از میزان شارژ باقیمانده داریم، تا به کاربر این امکان را بدهیم تا با اطمینان خاطر بیشتری برای استفاده از دستگاه پرتابل خود برنامه ریزی کند. با توجه به رفتارهای پیچیده دینامیکی یونها در باتری از مدل‌های عصبی و عصبی-فازی برای شناسایی استفاده شده است. و در انتها نتایج حاصله را با استفاده از مدل ANFIS بعنوان یک مدل قابل اعتماد در شناسایی مقایسه می‌کنیم.

#### مقدمه:

توسعه سیستم تشخیص باتری هوشمند یک ضرورت برای صنعت حمل و نقل در آینده است. این فن آوری به صورت بالقوه تاثیر عمیقی در صنایع دیگر مانند لوازم الکترونیکی قابل حمل نیز خواهد شد. با وجود آنکه باتری به طور فریب دهنده‌ای بسیار ساده به نظر می‌رسد، یک سیستم پیچیده و غیر خطی متشکل از تعامل فرآیندهای فیزیکی و شیمیایی می‌باشد. در حال حاضر اساس روش شناسایی باتری، اندازه گیری پاسخ شارژ و شکل موج ولتاژ باتری ناشناخته می‌باشد. این شکل موج ولتاژ حاوی تمام اطلاعات مورد نیاز برای شناسایی دقیق باتری می‌باشد. وضعیت شارژ (SOC)، که پارامتری برای توصیف مقدار انرژی موجود در باتری است، یک ابزار قدرتمند در مدیریت باتری می‌باشد ولی تخمین آن چالش برانگیز است و محاسبه‌ی online مقدار soc در سیستم‌های استفاده کننده از باتری‌های ذخیره کننده‌ی انرژی بسیار با اهمیت است. ما برای حل مشکل تخمین دقیق SOC از روش‌های شبکه عصبی و شبکه عصبی فازی برای تخمین SOC استفاده می‌کنیم.

## تعریف SOC :

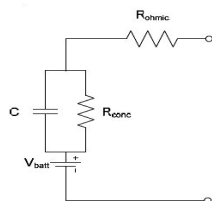
در بیشتر سیستم‌هایی که از یک باتری استفاده می‌کنند، وضعیت شارژ (SOC)، یک پارامتری است که مقدار شارژ باتری دارد و یا مقدار زمانی که باتری می‌تواند دوام بیاورد را نشان می‌دهد و می‌تواند کلید حل مشکلات ما باشد. قبل از اندازه‌گیری SOC، ما باید تعریف دقیقی از SOC داشته باشیم. ساده‌ترین و مرسوم‌ترین تعریف به صورت زیر می‌باشد:

$$SOC = (SOC_0 - \frac{\eta \int_0^t i(t) dt}{C_a}) \%100$$

این تعریف برای حالت تخلیه‌ی باتری (دشارژ) می‌باشد و  $SOC_0$  نشان دهنده‌ی وضعیت شارژ در لحظه اول شروع به دشارژ کردن می‌باشد.  $SOC_0$  ممکن است حالت شارژ کامل (۱۰۰٪) و یا هر مقدار شارژ باشد،  $i(t)$  نشان دهنده‌ی جریان دی شارژ می‌باشد،  $C_a$  ظرفیت تخلیه باتری می‌باشد که در ابتدا کاملاً شارژ شده است و تابعی از جریان تخلیه است و  $\eta$  ضریب ثابت می‌باشد. (عامل درجه حرارت در این پژوهش نادیده گرفته شده)

## مدار معادل باتری:

هسته پژوهش ما بر این اساس است که هر باتری ناشناخته‌ای می‌تواند به صورت یک مدار معادل خطی مدل شود، این کار ما بر اساس کار مشابه در [۲]، [۳] و [۴] می‌باشد. این مدار معادل، مدلی برای توجیه شکل موج ولتاژ و تعیین کمی چهار پارامتر  $V_{batt}$ ,  $C$ ,  $R_{conc}$ ,  $R_{ohmic}$  می‌باشد. این مدار معادل در شکل (۱) نشان داده شده است.



شکل ۱- مدار معادل باتری

این چهار پارامتر نشان دهنده بخش‌های مختلف از باتری است.  $R_{ohmic}$  نشان دهنده الکتروود و مقاومت بسته‌ای باتری،  $R_{conc}$  نشان دهنده مقاومت داخلی باتری است که حداکثر جریانی که می‌تواند ارائه دهد را تعیین می‌کند.  $C$  خازن باتری است که از اتصال مجموعه‌ای از لایه‌های تشکیل دهنده سلول‌های باتری تشکیل می‌شود و نشان دهنده مقدار معینی از بار الکتریکی ذخیره شده در داخل باتری است.  $V_{batt}$  نشان دهنده ولتاژ بی باری باتری است.

برای به دست آوردن پارامترهای مدل آزمون‌های مختلفی ارائه شده است. یکی از این روش‌ها [۵] این است که ابتدا یک منبع جریان با یک جریان ثابت شارژ  $I(A)$  را برای یک زمان محدود به ترمینال‌های مدار معادل شکل نشان داده شده متصل می‌کنیم. با استفاده از افزایش نمایی در ولتاژ و با در نظر گرفتن سه نمونه پشت سر هم از ولتاژ ترمینال در  $t=T_1, T_2, T_3$  ثابت زمانی مدار با استفاده از رابطه‌ی زیر شناسایی شود:

جایی که  $V_1, V_2, V_3$  نشان دهنده‌ی نمونه‌های متوالی از ولتاژ ترمینال و  $\Delta t$  نشان دهنده‌ی زمان بین دو نمونه برداری می‌باشد.

## جمع آوری داده‌ها به صورت عملی :

به منظور شناسایی باتری نیازمند داده‌های کافی می‌باشیم. جهت جمع آوری داده یک شارژر که قابلیت شارژ و دشارژ باتری تهیه شده و از نتایج پژوهشی که قبلاً انجام شده در این پروژه استفاده خواهیم کرد و جمع آوری داده‌ها جز اهداف ما نیست.

## شناسایی توسط شبکه عصبی

آموزش شبکه عصبی:

در ابتدا وزن‌ها و بایاس‌ها را بصورت رندوم در بازه  $[-5.0 \ 5.0]$  مقدار دهی می‌کنیم، علت این موضوع این است که نرون‌های ما از قسمت خطی شروع به فعالیت کنند و به قسمت غیر خطی بروند. شبکه می‌تواند برای تقریب توابع، تشخیص الگو و یا طبقه‌بندی الگوها مورد استفاده قرار گیرد. فرایند آموزش به یک سری مثال‌ها از رفتار مورد انتظار شبکه نیاز دارد که شامل ورودی شبکه  $P$  و هدف  $T$  می‌شود. در طول فرایند آموزش وزن‌ها و بایاس‌ها تنظیم می‌شوند تا تابع کارایی شبکه ( $NET.PERFORMFUN$ ) حداقل شود. تابع کارایی پیش فرض برای شبکه‌های  $MSE$   $FEEDFORWARD$  می‌باشد که منطبق بر همان تابع عملکردی است که در کلاس بحث کردیم.

در ادامه این بخش الگوریتم‌های آموزش مختلف را در شبکه‌های  $FEDDFORWARD$  مورد بررسی قرار می‌دهیم. تمامی این توابع از شیب تابع کارایی برای تنظیم وزن‌ها و بایاس‌ها استفاده می‌کنند. این شیب با استفاده همان تکنیک  $BACKPROPAGATION$  تعیین می‌شود. محاسبه  $BACKPROPAGATION$  از قانون زنجیره‌ای در حساب دیفرانسیل قابل محاسبه است. الگوریتم اساسی  $BP$ ، وزن‌ها را در جهت شیب منفی اصلاح می‌کند، که در ادامه شرح داده خواهد شد.

### الگوریتم $BACKPROPAGATION$ :

الگوریتم‌های مختلفی برای  $BACKPROPAGATION$  یا همان  $BP$  وجود دارد که در این بخش به تعدادی از آن‌ها تا حدی اشاره خواهیم کرد. در ساده‌ترین پیاده‌سازی یادگیری  $BP$ ، وزن‌ها و بایاس‌ها در جهتی که تابع کارایی کاهش می‌یابد یعنی خلاف شیب آن به روز می‌شود. یک تکرار از این الگوریتم را میتوان به صورت زیر نوشت:

$$X_{k+1} = X_k - \epsilon_K G_K$$

که  $X_K$  بردار فعلی وزن‌ها و یا بایاس‌ها است و  $G_K$  شیب فعلی و  $\epsilon_K$  سرعت یادگیری ( $LEARNING RATE$ )

دو روش مختلف برای این الگوریتم پیاده‌سازی شده است: روش گام به گام ( $INCEMENTAL$ ) و روش دسته‌ای ( $BATCH$ )

در روش گام به گام وزن‌ها و بایاس‌ها بعد از هر اعمال ورودی به روز می‌شوند در حالی که در روش دسته‌ای پس از اعمال تمام ورودی‌ها عملیات به روز رسانی انجام خواهد شد.

- آموزش دسته‌ای کاهش شیب: همانگونه که در کلاس درس مطرح شد در روش دسته‌ای وزن‌ها و بایاس‌ها پس از اعمال تمامی اعضای مجموعه آموزش  $UPDATE$  می‌شوند. شیبه‌ها محاسبه شده و برای هر ورودی با هم جمع می‌شوند تا در نهایت میزان وزن و بایاس‌ها از طریق آن به روز شود. در این روش وزن‌ها و بایاس‌ها در جهت عکس تابع کارایی به روز می‌شوند. یک  $EXTENTION$  که برای این روش وجود دارد این است که ما بیاییم برای آن از پارامتر سرعت یادگیری استفاده کنیم، در واقع این پارامتر در شیب ضرب شده و برای به روز رسانی وزن‌ها و

بایاس‌ها استفاده می‌شود. سرعت یادگیری باعث می‌شود که اندازه هر گام اصلاحی بیشتر شود. اگر اندازه این پارامتر خیلی بزرگ باشد آموزش ثبات کافی نخواهد داشت و اگر خیلی کوچک باشد الگوریتم به زمان زیادی برای همگرا شدن نیاز خواهد داشت.

✓ آموزش دسته‌ای کاهش شیب با گشتاور : در این روش به شبکه اجازه داد می‌شود که علاوه بر تغییرات شیب به تغییرات سطح خطا نیز واکنش نشان دهد. در این روش خطاهای ناچیز نادیده گرفته می‌شوند و تغییر وزن‌ها در هر مرحله برابر خواهد بود با مجموع تغییرات اخیر ایجاد شده روی وزن‌ها و تغییرات محاسبه شده از طریق BP.

✓ آموزش با تغییر سرعت یادگیری (LR) : در روش‌های استاندارد کاهش شیب مقدار سرعت یادگیری (LR) در تمام مراحل آموزش ثابت است در حالی که همانطور که در قسمت قبل توضیح داده شد کارایی الگوریتم به شدت به مقدار LR وابسته است. برای کارایی بیشتر الگوریتم بهتر است مقدار LR در فرآیند زمان آموزش بر اساس سطح کارایی تغییر کند.

✓ پس انتشار ارتجاعی: شبکه‌های چند لایه معمولاً از توابع انتقال در لایه مخفی خود استفاده می‌کنند. این توابع اغلب کوبنده (SQUASHING) نامیده می‌شوند زیرا آن‌ها ورودی که در محدوده بینهایت می‌باشد را به محدوده کوچکی فشرده می‌کنند. عموماً در این توابع در صورتی که ورودی آن‌ها بزرگ باشد شیب تابع به سمت صفر می‌رود که این مسئله از الگوریتم SD ایجاد مشکل می‌کند، زیرا در این صورت شیب دارای مقدار کوچکی می‌شود و در نتیجه تغییر کمی در وزن‌ها و بایاس‌ها ایجاد می‌کند و در نتیجه وزن‌ها و بایاس‌ها فاصله زیادی از مقدار بهینه خود خواهند داشت. ایده‌ای که RESILIENT BP ارائه می‌دهد این است که تنها از علامت مشتق برای به روز رسانی استفاده کنیم و مقدار تغییرات وزن‌ها با استفاده از یک مقدار به روز رسانی مجزا تعیین شود. این الگوریتم کارایی بسیار بالاتری نسبت به سایر الگوریتم‌های استاندارد SD دارد و علاوه بر آن حافظه کمتری برای این الگوریتم نیاز است.

- الگوریتم‌های شیب توأم: الگوریتم پایه BP وزن‌ها را در خلاف جهت شیب اصلاح می‌کند. این همان جهتی است که تابع کارایی در آن سمت به سرعت کاهش می‌آید. این اصلاح وزن‌ها الزاماً تنها در یک جهت منتهی به همگرایی بیشتر نخواهد شد بنابر این بهتر است توأم چند جهت را چک کنیم. در بیشتر الگوریتم‌های مورد بحث از سرعت یادگیری برای تعیین اندازه گام‌ها در به روز رسانی وزن‌ها استفاده می‌شود. در بیشتر الگوریتم‌های شیب توأم اندازه هر گام به ازای هر تکرار تنظیم می‌شود. برای این منظور یک عملیات جستجو بین تمامی شیب‌های توأم انجام می‌شود که مقدار تابع کارایی را در طول آن خط حداقل می‌سازد.

- الگوریتم‌های شبه نیوتن: روش‌های نیوتن معمولاً دارای همگرایی بهتر و سریعتر نسبت به الگوریتم‌های شیب توأم می‌باشند اما چون به لحاظ محاسباتی به علت محاسبه ماتریس هسیان، بسیار پر هزینه هستند در نتیجه چندان برای شبکه‌های عصبی مناسب به نظر نمی‌رسند. به همین دلیل از الگوریتم‌های شبه نیوتن استفاده می‌شود که در آن‌ها به تقریب ماتریس هسیان بسنده می‌کنند.

الگوریتم LEVENBERG-MARQUARDT: همانند روش‌های شبه نیوتن این روش نیز سعی در کاهش محاسبات با استفاده از عدم محاسبه ماتریس هسیان دارد. زمانی که تابع کارایی بصورت مجموع مربعات باشد ماتریس هسیان به روش  $H = J^T J$  قابل تخمین است. و همچنین شیب نیز به صورت  $g = J_e^T$  قابل محاسبه است.  $J$  ماتریس ژاکوبین می‌باشد که شامل مشتقات اول از خطاهای شبکه نسبت به وزن‌ها و بایاس‌ها است و  $e$  بردار خطای شبکه است و پیچیدگی محاسبات آن نسبت به محاسبه ماتریس هسیان بسیار کمتر است.

### مقایسه بین انواع آموزش :

با بررسی مثال‌هایی در زمینه‌های مختلف مشخصه‌های زیادی از الگوریتم‌های مورد استفاده قابل استنباط است. عموماً در مسائل تخمین تابع با پارامترهای شبکه کمتر از ۱۰۰؛ الگوریتم LEVENBERG-MARQUARDT کارایی بالایی از خود نشان می‌دهد و سرعت بالایی دارد و البته



دقت بالای آن کاملاً برجسته است، زیرا در بسیاری از موارد این الگوریتم به حداقل خطا رسیده است. در مقابل در مسائل تشخیص الگو LM اصلاً کارایی مناسبی ندارد. فضای مورد نیاز برای این الگوریتم بالا می‌باشد که البته با استفاده از REDUC\_MEM می‌توان آن را کاهش داد که البته این مسئله باعث افزایش زمان می‌گردد.

❖ LM برای مسائل حداقل سازی مربعات طراحی شده و در تشخیص الگو جواب مناسبی نمی‌دهد زیرا نرون‌های آن اشباع می‌شوند.

❖ ما در این پروژه از الگوریتم TRAINLM برای آموزش شبکه استفاده کرده ایم. که در واقع از همان الگوریتم LEVENBERG-MARQUARDT استفاده می‌کند.

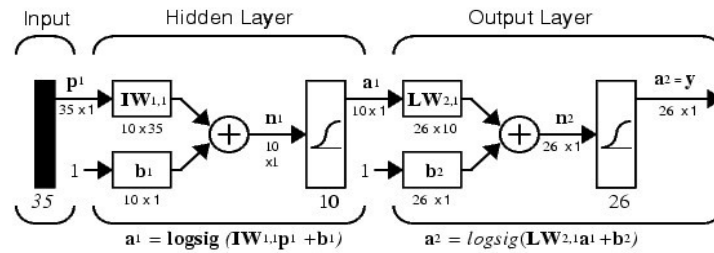
الگوریتم RESILIENT BP دارای بیشترین سرعت در مسائل تشخیص الگو می‌باشد ولی این الگوریتم در مسائل تخمین تابع خوب عمل نمی‌کند، کارایی این تابع با کاهش ERROR GOAL کاهش می‌یابد اما در مقابل حافظه مورد نیاز آن در مقایسه با بقیه کمتر است.

الگوریتم‌های شیب توام و به خصوص SCALED CONJUGATE GRADIENT، به نظر می‌آید که برای حل گسترده وسیعی از مسائل کارایی خوبی دارند، به خصوص مسائلی با تعداد پارامتر زیاد SCG به اندازه LM سریع هستند و همچنین در مسائل تشخیص الگو به اندازه RBP سرعت دارند و علاوه بر آن کارایی آن‌ها با کاهش ERROR GOAL کاهش پیدا نمی‌کند. الگوریتم‌های شیب توام معمولاً فضای حافظه متوسط اشغال می‌کنند.

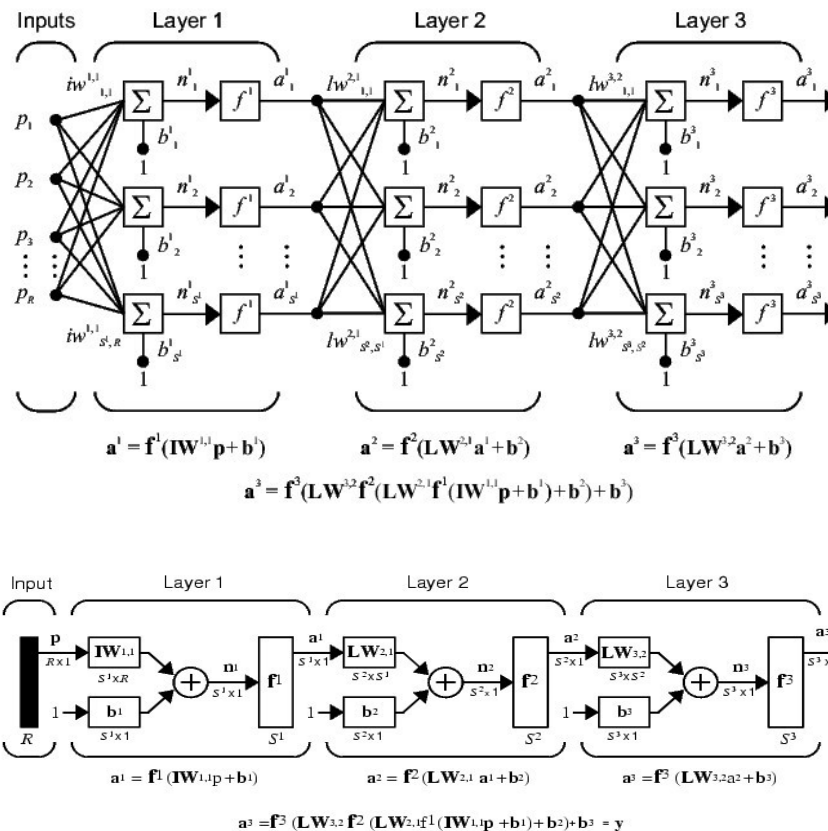
❖ الگوریتم کاهش گرادین (GRADIENT DESCENT) عموماً بسیار کند است زیرا برای یک یادگیری با ثبات نیاز به سرعت یادگیری کوچکی دارد. معمولاً روش گشتاور (MOMENTUM) از روش کاهش گرادین ساده سریع تر است زیرا آن ضمن یک یادگیری با ثبات میتواند سرعت یادگیری بزرگتری اختیار کند. اما این الگوریتم نیز برای بسیاری از مسایل خیلی کند است. این الگوریتم معمولاً با یادگیری گام به گام (INCREMENTAL LEARNING) به شکل مطلوب عمل می‌کند.

## شبکه عصبی چند لایه (MLP)

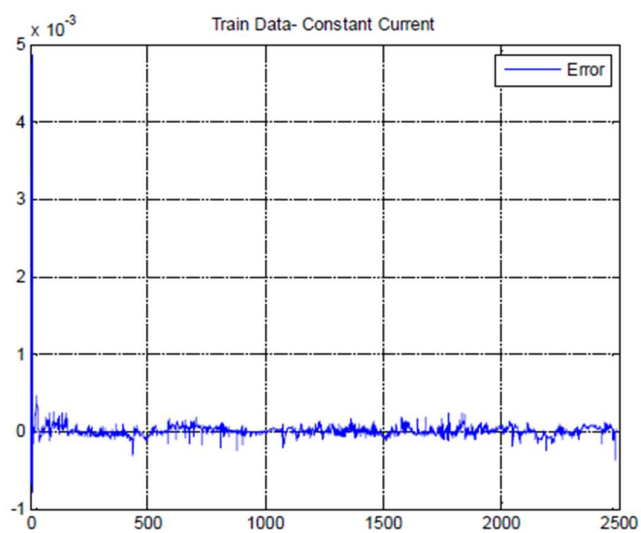
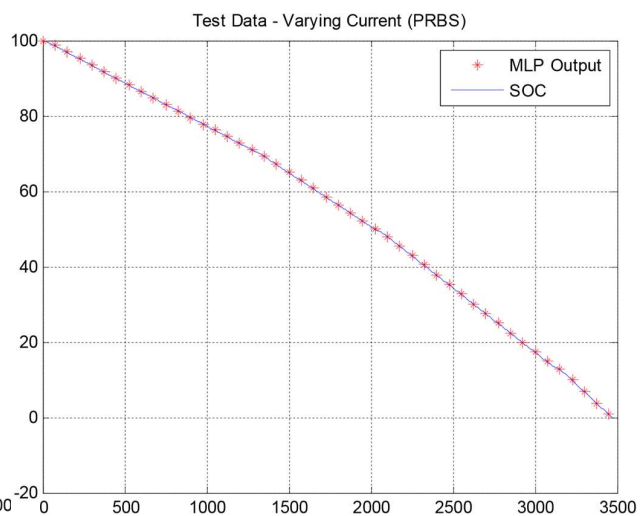
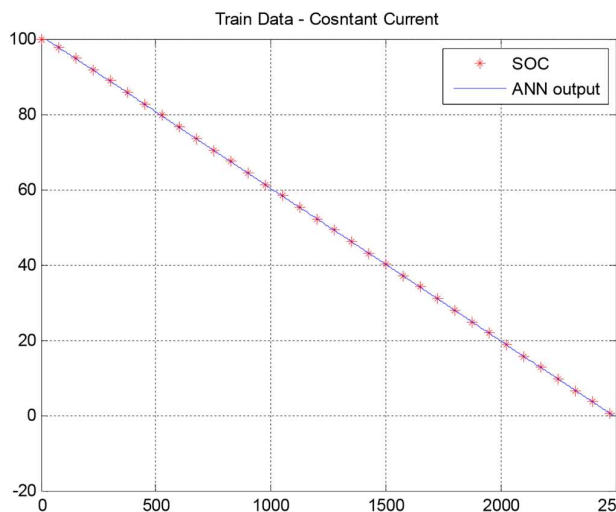
شبکه‌های feedforward اغلب یک یا چند لایه مخفی از نرون‌های sigmoid می‌باشند و از یک لایه پایانی خطی استفاده می‌کنند. شبکه‌های چند لایه از نرون‌ها با یک تابع انتقال غیر خطی استفاده می‌کنند که به شبکه اجازه می‌دهد که توانایی یادگیری رابطه خطی و غیر خطی را بین ورودی‌ها و خروجی‌ها داشته باشد. لایه خروجی خطی به شبکه این امکان را می‌دهد که خروجی خارج از محدوده ۱ و -۱ داشته باشد که البته توابع اشباع شونده‌ای وجود دارند که بتوان خروجی را در بازه ۰ و ۱ محدود کرد. مانند  $\text{logsig}$ .



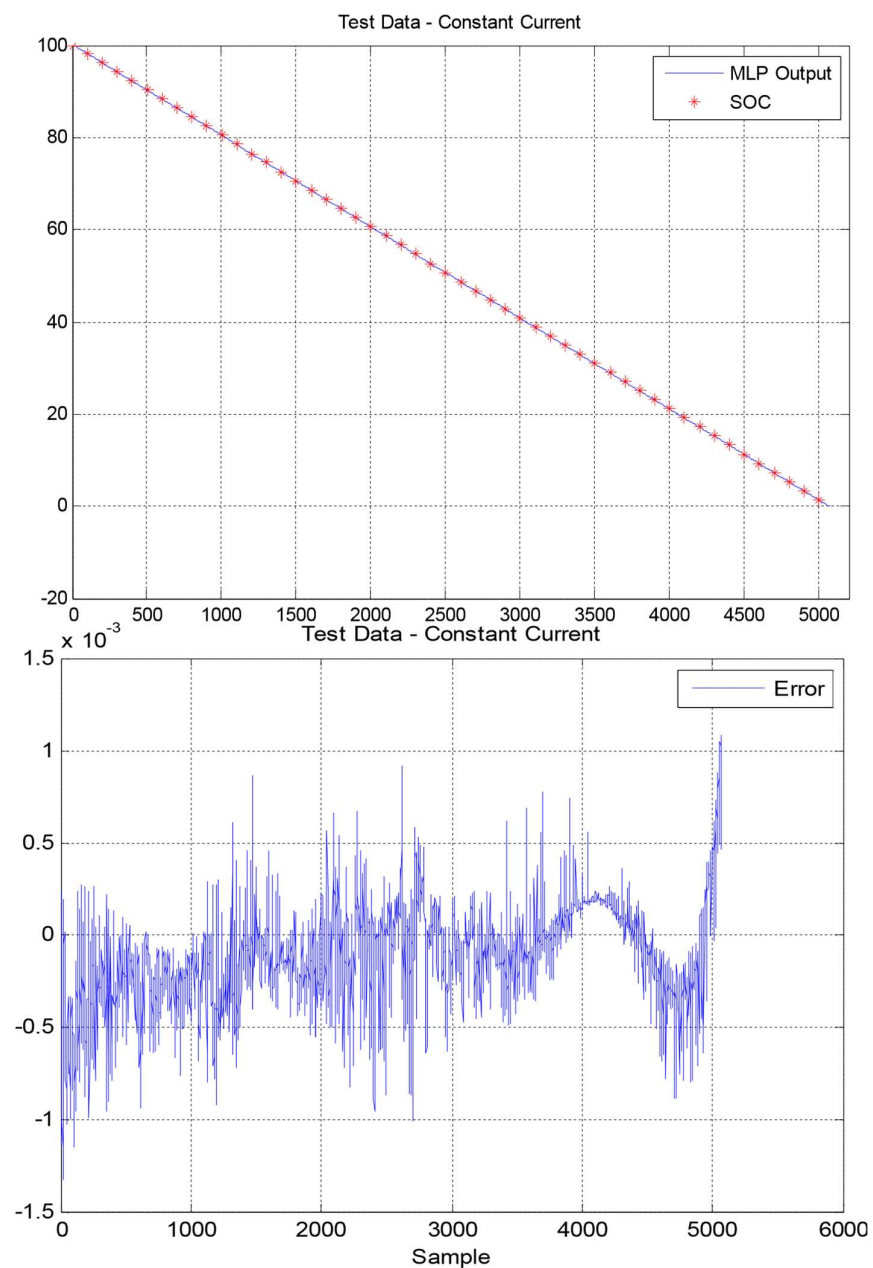
ثابت شده است که شبکه‌های عصبی چند لایه یک موتور تقریب تابعی است به شرط آنکه تعداد نرون‌های لایه میانی به اندازه کافی زیاد باشند. می‌توان با استفاده از الگوریتم **backpropagation** وزن‌های شبکه عصبی را نیز تنظیم نمود. ساختار کلی شبکه عصبی را در زیر مشاهده می‌کنیم :



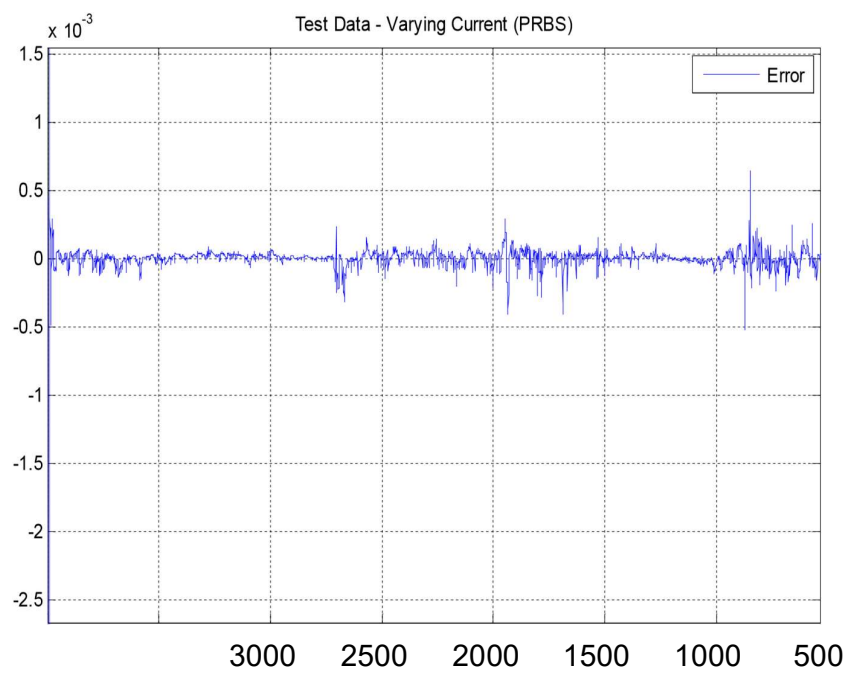
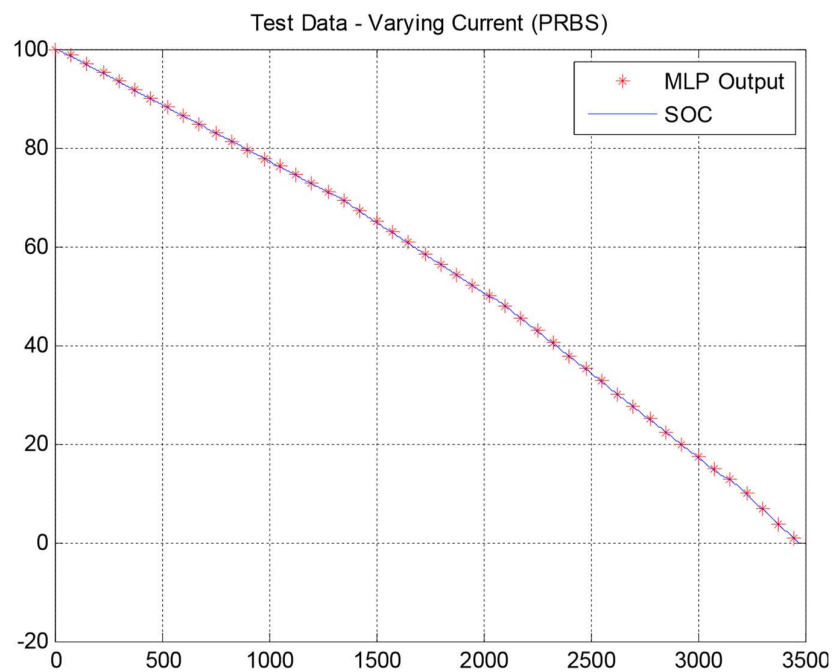
نتیجه حاصل از آموزش شبکه MLP دو لایه به صورت زیر می‌باشد. مشاهده می‌شود که با استفاده از این شبکه می‌توان سیستم را به خوبی شناسایی کرد. برای شناسایی ۳ سری داده‌های جمع آوری شده در جریان دشارژ ثابت به عنوان داده‌های آموزش در نظر گرفته شد. پس از آموزش، شبکه برای دو حالت جریان ثابت و جریان متغیر PRBS فراخوانی شده و با خروجی‌های واقعی که به عنوان داده‌های تست جمع آوری شده بود مقایسه شد. مشاهده می‌شود که تخمین زده به طور مناسبی **generalization** دارد و می‌تواند مقدار شارژ باتری را در وضعیت‌های مختلف تخمین بزند.



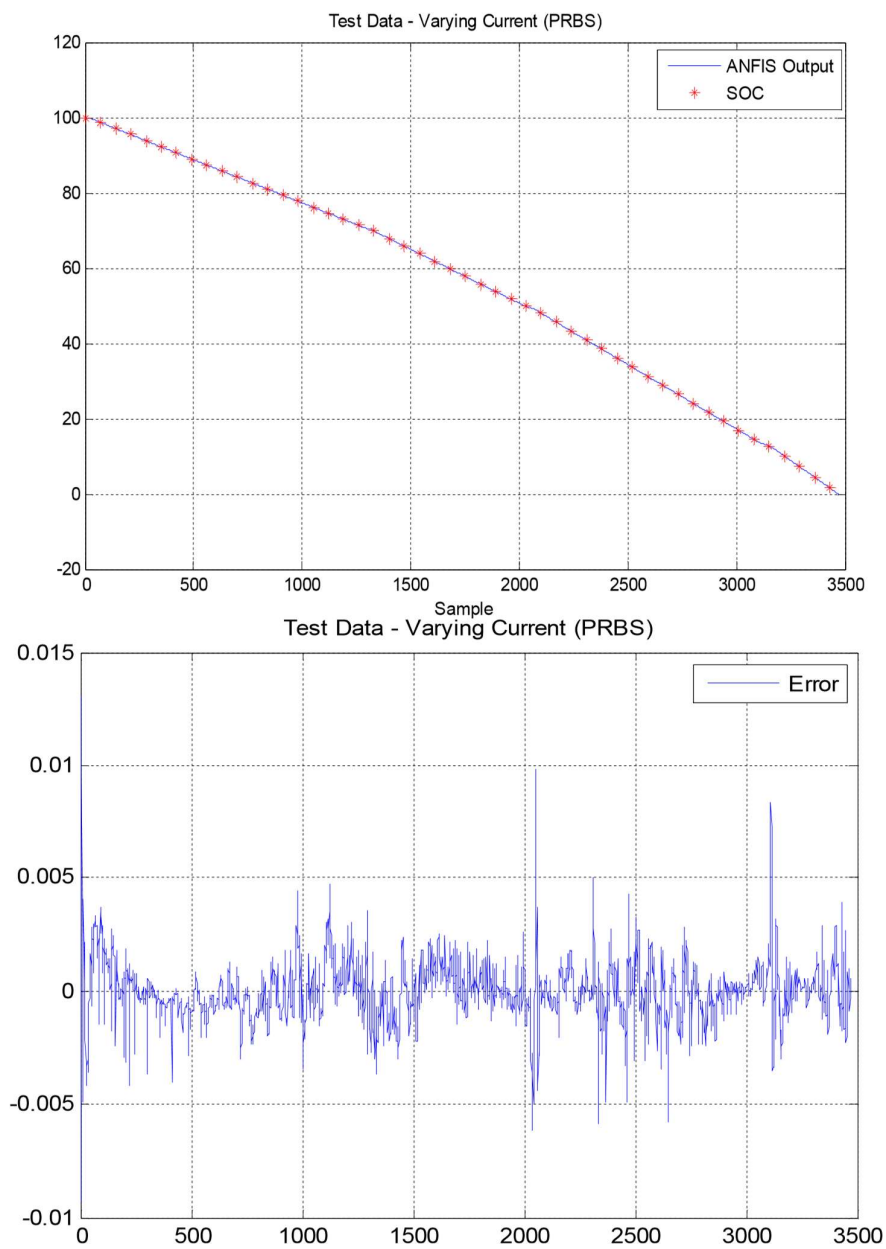
همانطور که مشاهده می‌شود خطای تخمین به خوبی به سمت صفر رفته است



همانطور که مشاهده می‌شود خطای تخمین به خوبی به سمت صفر رفته است



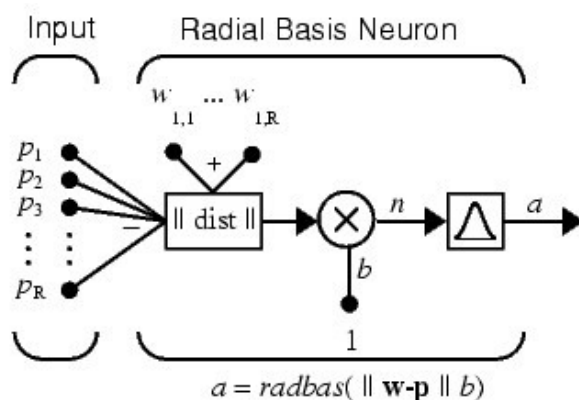
همانطور که مشاهده می‌شود خطای تخمین به خوبی به سمت صفر رفته است



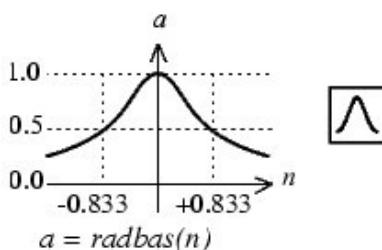
همانطور که مشاهده می‌شود خطای تخمین به خوبی به سمت صفر رفته است

## شبکه‌های پایه شعاعی (RBF):

تفاوت عمده شبکه RBF و MLP در شباهت سنجی ورودی است که در MLP این شباهت سنجی بصورت ضرب داخلی بوده و در شبکه RBF این شباهت سنجی بصورت فاصله اقلیدسی است به این معنی که فاصله ورودی با مرکز تمامی گوسی ها سنجیده می‌شود، که ساختار کلی آن بصورت زیر آورده شده است.



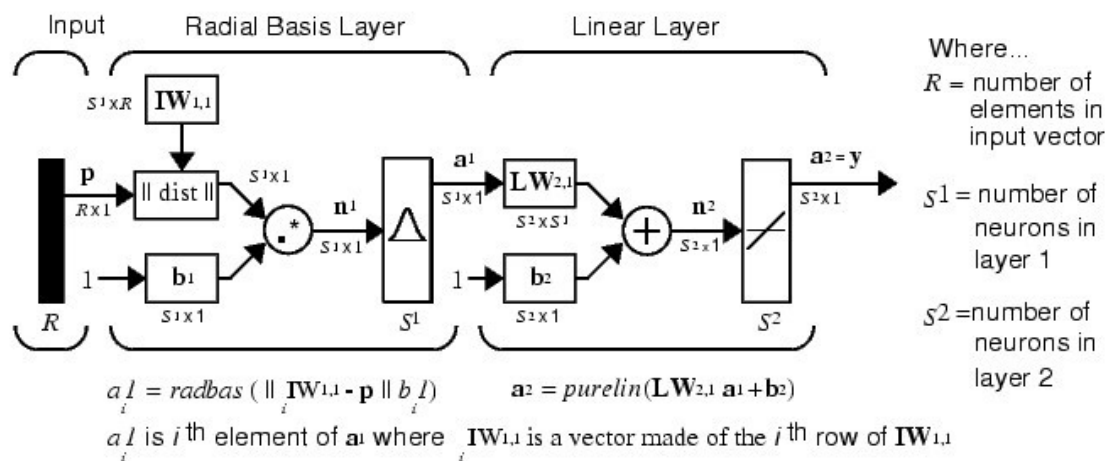
و تابع نرون radial basis بصورت زیر است :



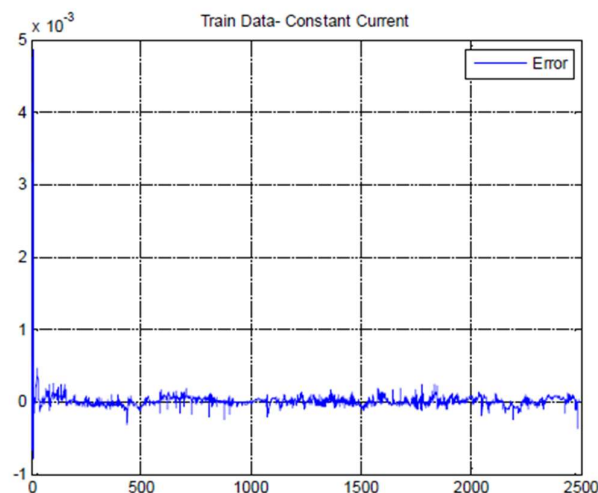
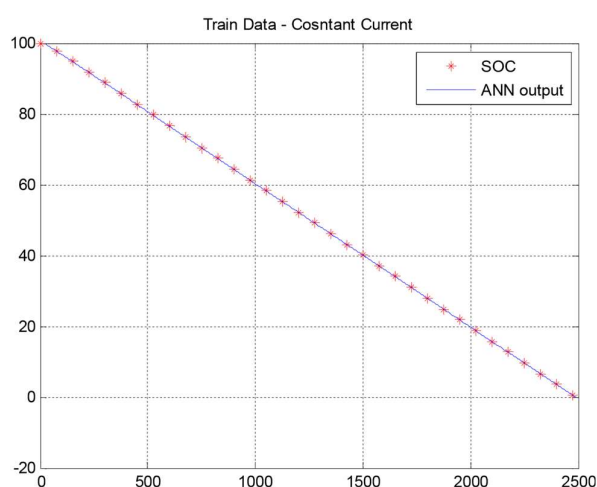
### Radial Basis Function

این تابع با ورودی صفر دارای حداکثر خروجی خود یعنی ۱ می‌باشد. ( به نوعی Fuzzy Partition مشاهده می‌شود)

معماری شبکه radial basis از دو لایه تشکیل شده است که معماری آن در شکل زیر نشان داده شده است



لایه مخفی دارای  $S^1$  نرون و لایه خروجی دارای  $S^2$  نرون می باشد. تابع  $\| \text{dist} \|$  بردار ورودی  $\mathbf{p}$  و بردار وزن های ورودی  $\mathbf{W}$  را به عنوان ورودی دریافت کرده و یک بردار با  $S^1$  عنصر تولید می کند.



همانطور که مشاهده می شود خطای تخمین به خوبی به سمت صفر رفته است

با توجه به پاسخ مطلوب تر RBF نسبت به MLP سوال این است که چرا همیشه از شبکه های radial basis به جای شبکه های feedforward استفاده نمی کنیم؟ زیرا در تعداد نرون های شبکه های radial basis است. تعداد نرون ها در این نوع شبکه ها بسیار بیشتر از شبکه های feedforward است زیرا شبکه های feedforward از توابع sigmoid به عنوان تابع انتقال استفاده می نمایند که این توابع می توانند بر روی محدوده گسترده ای از فضای ورودی عمل نمایند اما نرون های radbas تنها می توانند روی فضای محدودی عکس العمل نشان دهند و در نتیجه برای گسترش این فضا نیاز به نرون های بیشتری وجود خواهد داشت. اما از سوی دیگر طراحی این شبکه ها نسبت به شبکه های feedforward به زمان کمتر و حتی گاهی اوقات به تعداد نرون های کمتری نیاز دارد.



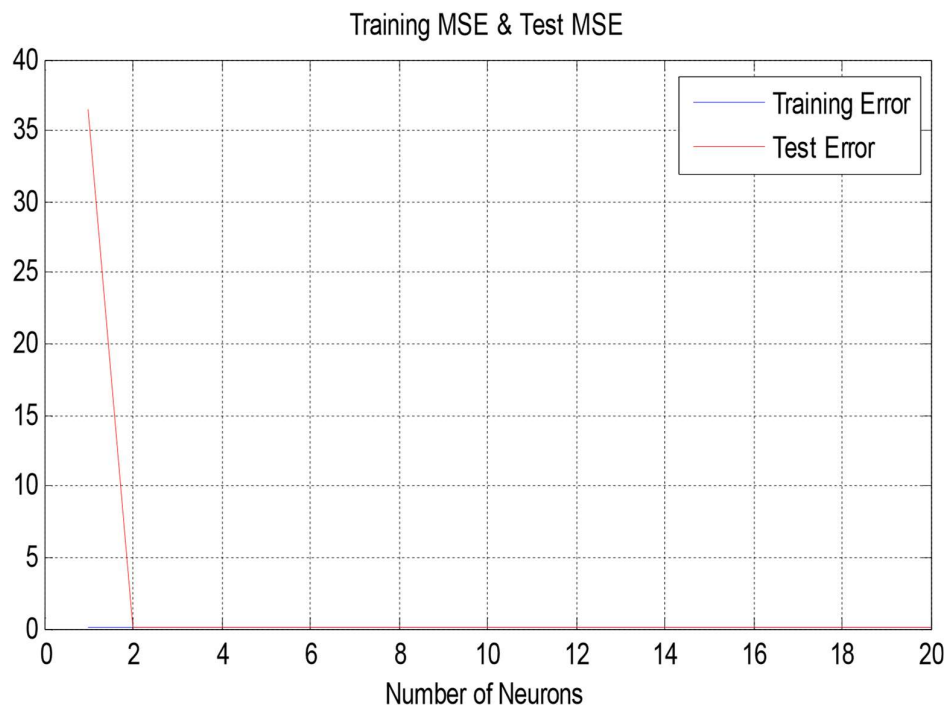
## شناسایی توسط مدل‌های عصبی - فازی

### LOLIMOT: (locally linear model tree)

در این قسمت از پروژه از مدل نرو فازی خطی محلی با الگوریتم LoLiMoT (برای یادگیری) استفاده می‌کنیم.

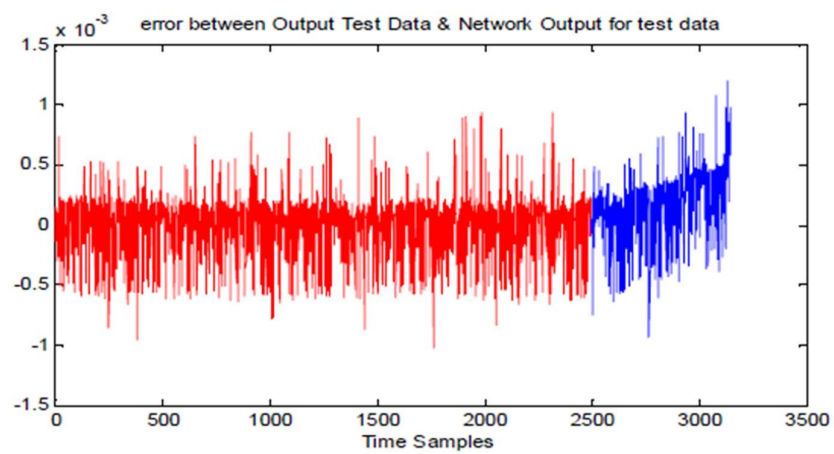
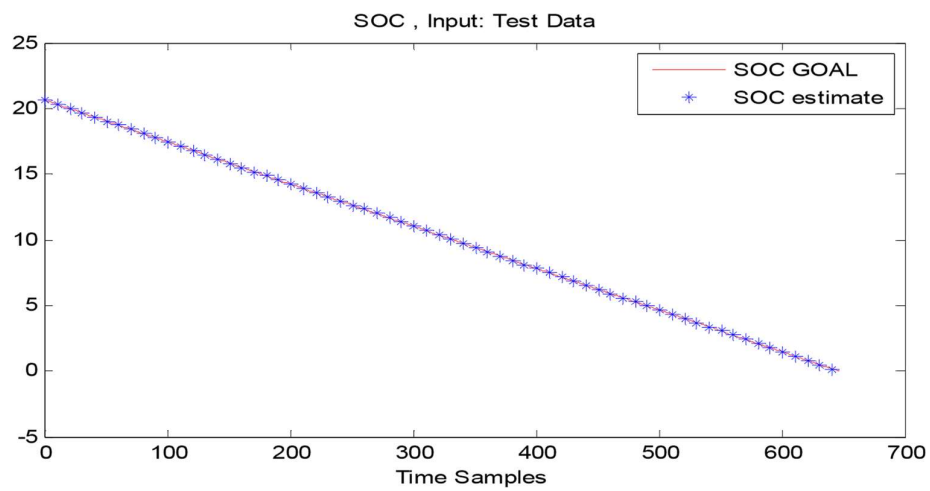
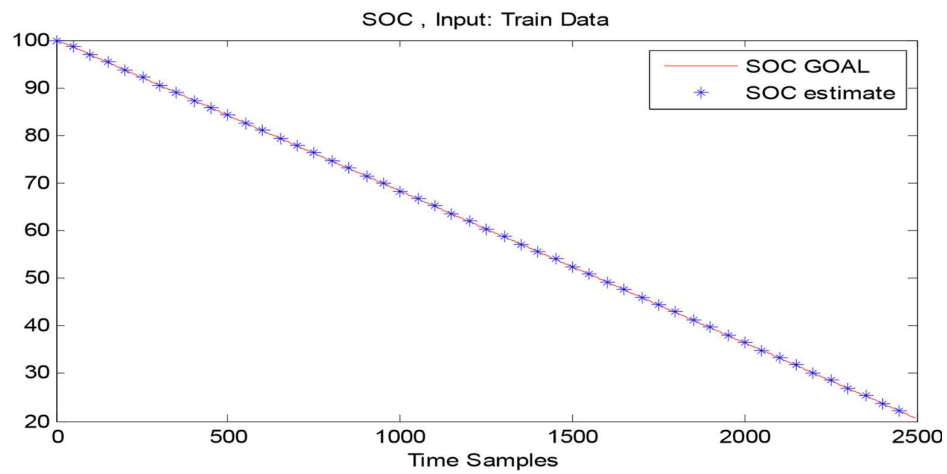
در این روش یک مدل پیچیده به چند مدل ساده تر و کوچک تر شکسته شده و مدل‌های کوچک تر به صورت خطی و تقریباً مستقل شناسایی می‌شوند. در این مدل هر نرون از یک مدل خطی محلی (LLM) و یک تابع validity که محدوده اعتبار این مدل خطی محلی را نشان می‌دهد، تشکیل می‌شود. مجموع مقدار توابع validity، که معمولاً گوسی انتخاب می‌شوند، به ازای هر ورودی برابر ۱ است، یعنی این توابع نرمالیزه هستند. این الگوریتم فضای ورودی را به موازات محورهای عمودی به دو قسمت مساوی تقسیم می‌کند، به این ترتیب فضای ورودی به مستطیل‌هایی تقسیم می‌شود. در مرکز هر یک از این مستطیل‌ها یک تابع گوسی با انحراف معیاری برابر یک سوم اندازه هر بعد آن قرار داده می‌شود. در نتیجه پارامترها غیرخطی مدل بدون نیاز به روش‌های بهینه سازی غیرخطی به دست می‌آیند. در الگوریتم LOLIMOT تقسیم بندی فضای ورودی به این ترتیب انجام می‌پذیرد که ابتدا بدترین LLM (در اولین مرحله کل فضای ورودی که دارای یک نرون است) که بیشترین مربعات خطای وزن دار خروجی را ایجاد کند، انتخاب می‌شود. این LLM به صورت axis-orthogonal به دو قسمت مساوی تقسیم و در مرکز هر قسمت یک نرون قرار داده شده و خطای مدل سازی در هر قسمت محاسبه می‌شود. برای تمام جهت‌های ممکن که برای شکستن فضا وجود دارد، این کار انجام شده و خطای مدل سازی محاسبه می‌شود. جهتی که گذاشتن نرون در هر یک از دو قسمت آن خطای مدل سازی کمتری ایجاد کند، انتخاب می‌گردد. بار دیگر بدترین LLM انتخاب شده و به صورت axis-orthogonal شکسته می‌شود. این کار تا برقراری یک شرط توقف که می‌تواند تعداد نرون‌ها یا رسیدن به حد قابل قبولی از خطای مدل سازی باشد، ادامه می‌یابد. شکل زیرنتایج حاصل از شناسایی تابع اول با استفاده از این روش را نشان می‌دهد. علت کاهش تعداد نرون‌ها نسبت به RBF در این است که در این الگوریتم، تقسیم بندی فضا با در نظر گرفتن میزان خطا در هر ناحیه و به صورت هوشمندانه انجام می‌شود و بدیهی است که در مقایسه با RBF تعداد نرون‌ها باید کاهش یابد.

لازم به ذکر است در اینجا اجمالا اشاره می‌شود در این قسمت ابتدا داده‌ها را نرمالیزه می‌کنیم، که مرکز توابع گوسی و واریانس آن‌ها به صورت خودکار شناسایی می‌شوند و تعداد نرون‌ها را از مقدار کم تا زیاد تغییر می‌دهیم و با مشاهده همزمان میانگین مربعات خطای آموزش و ارزیابی، تعداد بهینه نرون‌ها را بدست می‌آوریم.

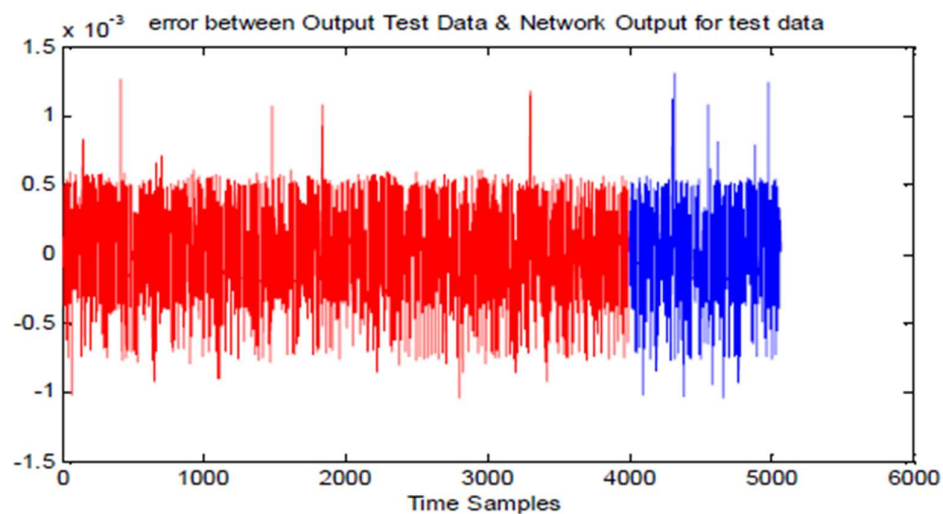
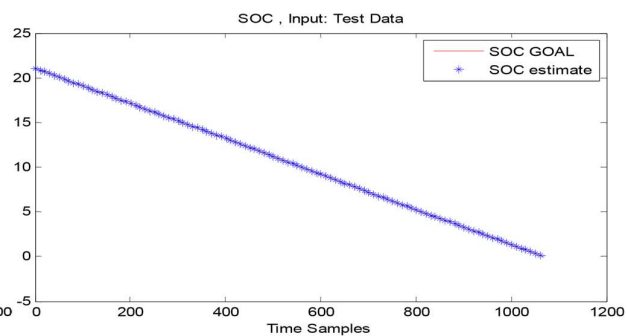
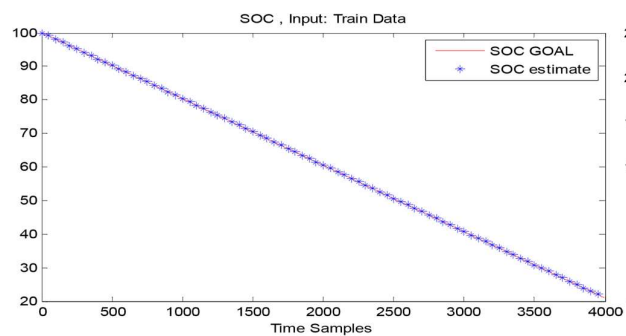
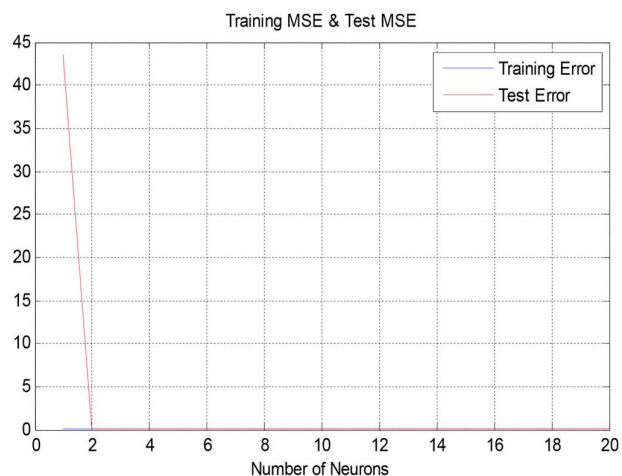
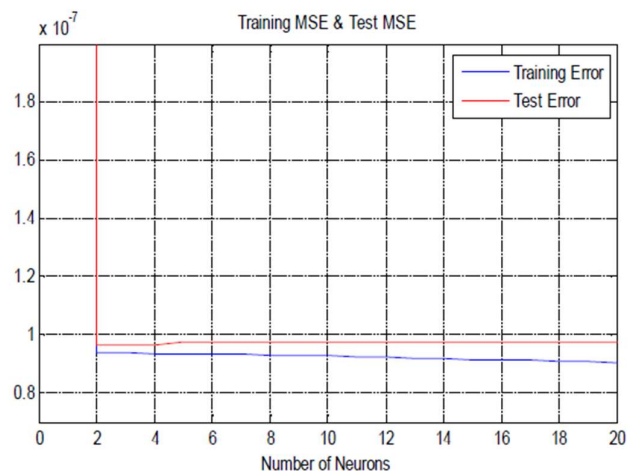


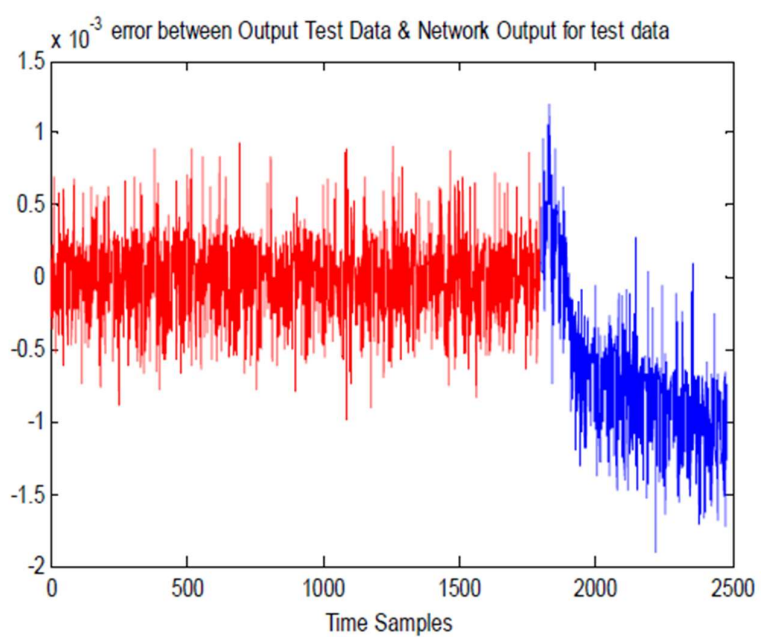
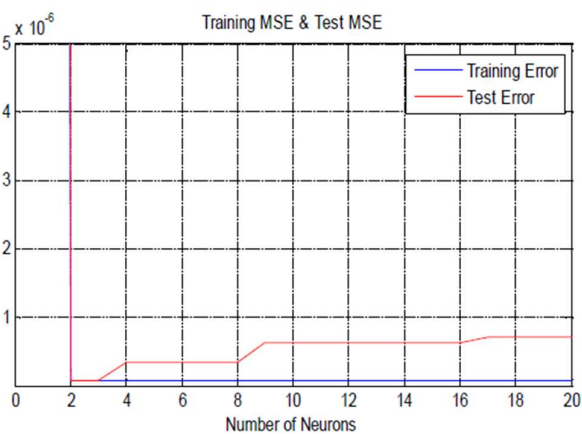
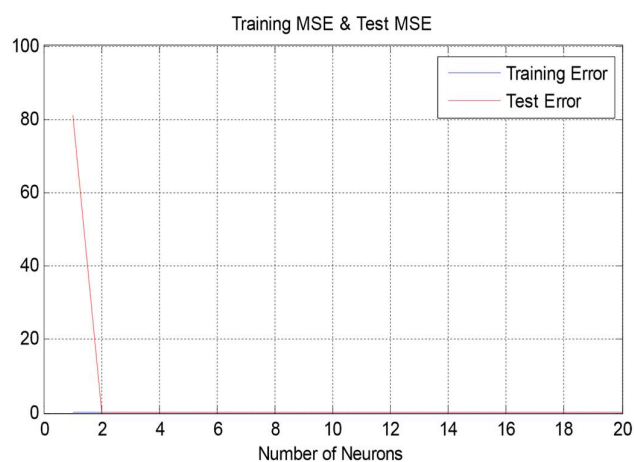
که با بزرگنمایی داریم:

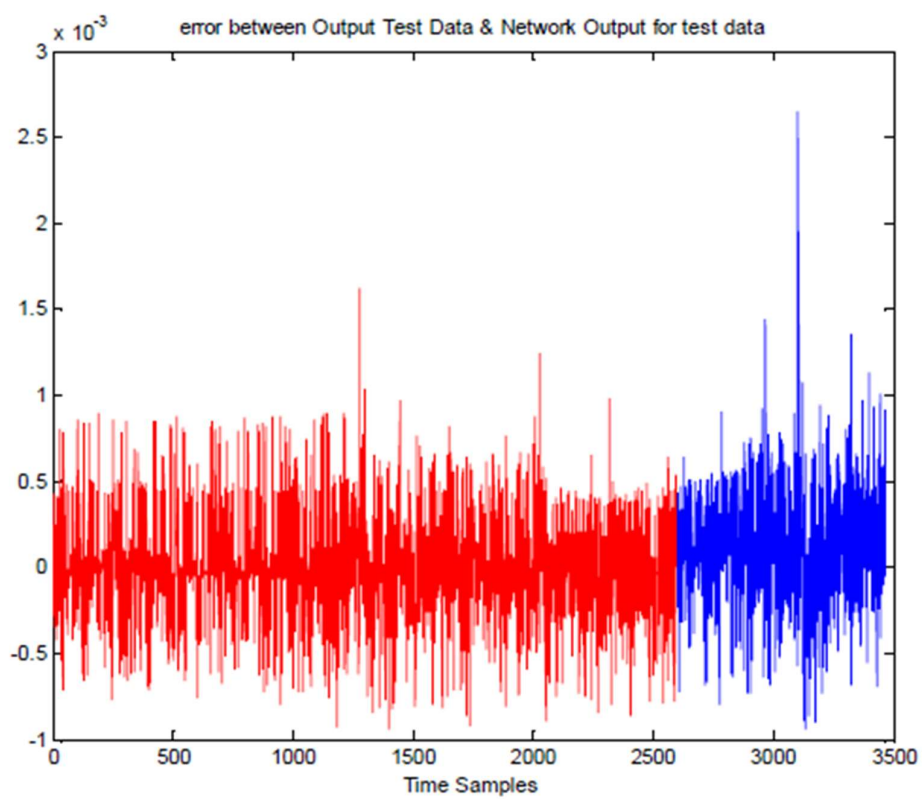
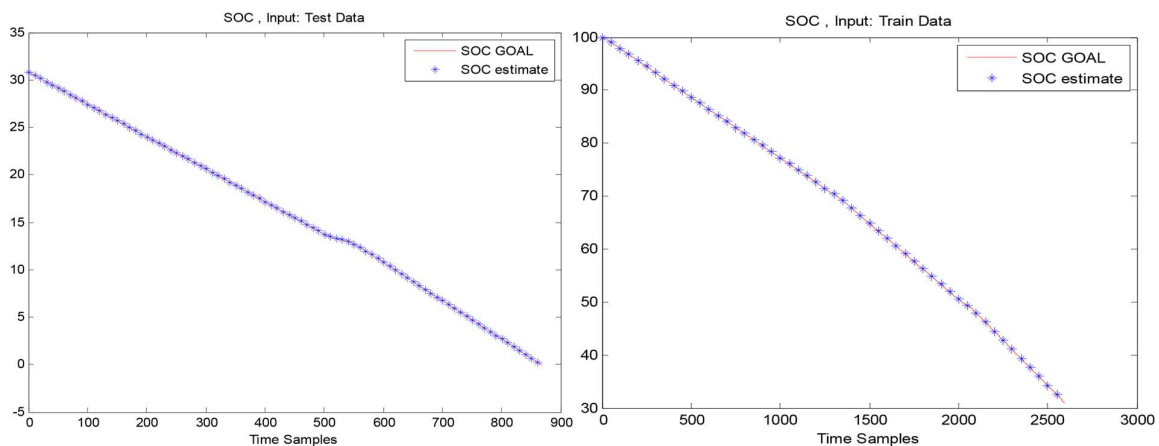




برای داده‌ی دوم:







## (Adaptive Network Fuzzy Inferense System)

همانطور که در [۱۰] بیان شده است، ANN در عین یادگیری خوبی که دارد شفافیتی برای حل مسئله ندارد و در مقابل آن منطق فازی دارای شفافیت لازم بوده اما ارائه راه حل دقیق برای آن دشوار است پس با ادغام ANN و منطق فازی، ANFIS ایجاد می‌شود که ویژگی‌های مثبت هر دو را دارد و ما نیز از ANFIS برای تخمین SOC ایجاد می‌کنیم.

در ادامه، مدل ANFIS با ۵ ورودی ( $V, i, SOC$ ) و یک خروجی ( $SOC$ ) را پیاده سازی می‌کنیم. برای این منظور از قواعد فازی اگر-پس Takagi\_Sugeno به همراه یادگیری هایبرید (روش گرادین مینا و حداقل مربعات تخمین (LSE) برای آموزش استفاده می‌شود که روش propagation برای یادگیری firing و روش حداقل مربعات تخمین (LSE) برای یادگیری پارامترهای خطی مربوط به قسمت فازی استفاده می‌کنیم).

در تخمین SOC باتری ها معمولا با دو مشکلات اصلی روبرو هستیم :

۱. ممکن است ۱۰۰٪ نباشد.

در بسیاری از تحقیقات موجود در تخمین SOC مانند [۱۱، ۱۲ و ۱۳] از SOC ۱۰۰٪ استفاده شده است که نشان می‌دهد، برای تخمین SOC از باتری که به طور کامل شارژ شده، استفاده می‌شود. با این حال، در بسیاری از کارها، ممکن است باتری از ۱۰۰٪ SOC شروع به دی شارژ شدن نکند. سه دلیل برای این مورد وجود دارد: (الف) خود تخلیه شدن در اثر گذشت مدت زمان طولانی (ب) تخلیه متناوب باتری (پ) در اصل به طور کامل شارژ نشده باشد. باتری با شارژ کامل ویژگی‌های آشکاری دارد که یکی از این ویژگی ها ولتاژ ترمینال اولیه نسبتا بالا می‌باشد. در این پروژه کار ما بر این اساس است که مقدار را نمی دانیم.

۲. انتخاب و اتخاذ داده‌های آموزش

می بایست به تعداد کافی داده‌ی آموزش برای black\_box مهیا شود. پیش بینی SOC برای شرایط خاص، نیاز به داده ها آموزش تحت همان شرایط دارد به عنوان مثال، به منظور تخمین SOC تحت تخلیه‌ی بار ثابت (CLD) به داده های آموزش تحت شرایط CLD نیاز داریم.

### انتخاب ورودی:

انتخاب ورودی یکی از مسایل مهم در شناسایی می‌باشد. که روش‌های مختلفی برای این منظور وجود دارد. یکی از این روش‌های جدید استفاده از آنالیز حساسیت است و ژنتیک الگوریتم [۱۳، ۱۴] و روش‌های آنالیز کورلیشن [۱۵] که به کرات استفاده می‌شود. آنالیز کورلیشن یک متد مستقیم و قابل فهم است ما نیز از آنالیز کورلیشن برای انتخاب ورودی ها استفاده می‌کنیم و ورودی‌های مهم و عمق هر کدام را به دست می‌آوریم. با توجه به رفتار غیر خطی و پیچیده‌ای که از باتری باطری سراغ داریم و با توجه به اینکه SOC به بسیاری از عوامل بستگی دارد، سه متغیرهای اساسی جریان تخلیه  $i, SOC$  و ولتاژ ترمینال باتری  $V$  به تنهایی قادر به شناسایی سیستم نخواهد بود و اگر تنها از سه متغیر به عنوان ورودی استفاده کنیم مدل ANFIS نمی تواند SOC باتری را به دقت پیش بینی کند به همین منظور برخی از متغیرهای ورودی جدید، که باید

به مدل اضافه شده تا موجب بهبود دقت پیش بینی شوند را تعریف می‌کنیم. معمولاً این متغیرهای جدید را از روی متغیرهای اساسی و به صورت متوسط گیری، انتگرال گیری و تفاضل به دست می‌آوریم. متغیرهای در نظر گرفته شده مطابق جدول زیر می‌باشند:

|            |                                |
|------------|--------------------------------|
| ولتاژ      | ولتاژ ترمینال باتری            |
| جریان      | جریان دشارژ                    |
| مشتق ولتاژ | $dV = \frac{V(t) - V(t-1)}{T}$ |
| آمپر ساعت  | $As(t) = \int_0^t i(t) dt$     |

Soc خروجی ANFIS می‌باشد و با جریان ثابت‌های مختلف (که در این جا ۷۰۰ و ۱۰۲ و ۱۰۵ آمپر) دیتاها را جمع آوری کرده. با توجه به وجود ۴ تا ورودی  $p_j, q_j, r_j, s_j, t_j$  به صورت از ۱۰ تا mf استفاده می‌کنیم (لایه‌ی اول) و هر کدام از MF ها نیز با در نظر گرفتن حالت مثلثی سه تا پارامتر خواهند داشت. برای لایه‌ی دوم نیز ۱۶ تا fixed node خواهیم داشت (2) (در حقیقت همان وزن هر رول ها می‌باشند). در لایه‌ی سوم ۱۶ تا fixed node برای عمل normalization مقدار اثر گذاری هر رول استفاده می‌کنیم. در لایه‌ی چهارم نیز ۱۶ تا if-then rule خواهیم داشت هر کدام از این رول ها نیز خودشان ۵ تا پارامتر دارند:

$$f_j = SOC * p_j + V * q_j + i * r_j + \frac{dV}{dx} * s_j + t_j$$

در نهایت هم با استفاده‌ی ترکیبی از LS و SD پارامترهای ANFIS به دست می‌آیند.

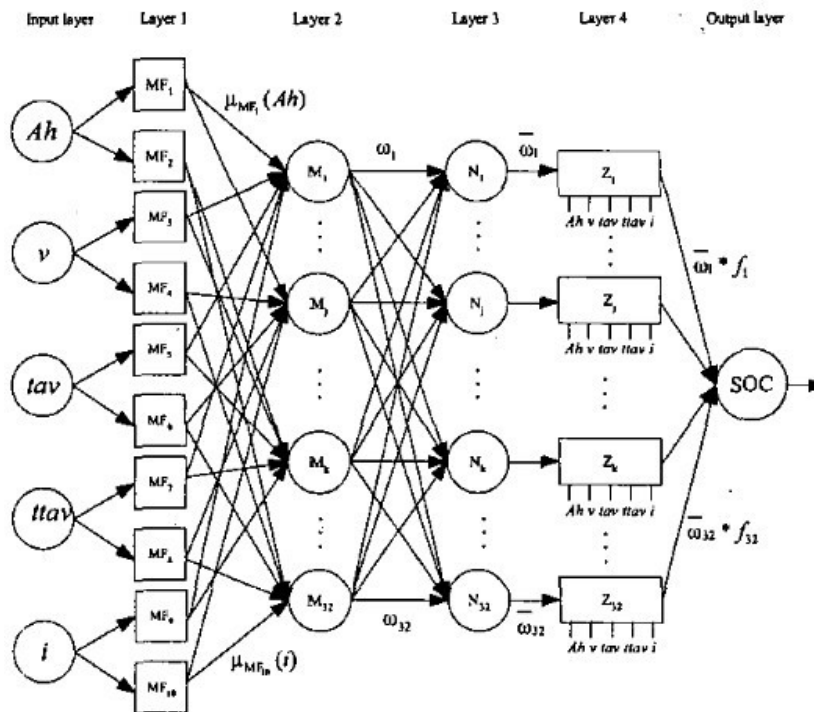
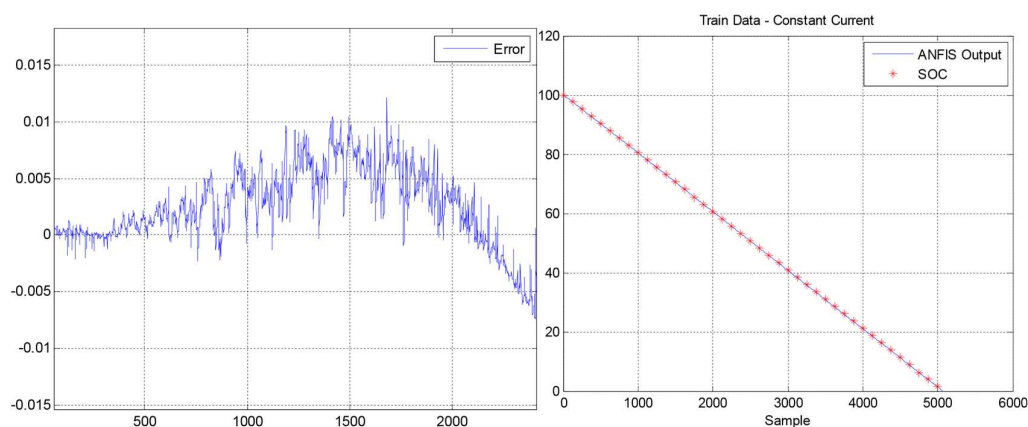


Fig. 4 ANFIS model to estimate SOC



زیاد تعداد بودن داده ها آموزش ممکن است عملکرد کلیت ANFIS را تضمین کند اما نیاز به مقدار محاسبات. زیاد خواهد داشت و تعداد بسیار کم از داده ای آموزش عملکرد کلیت ANFIS بعید است در کل  $192 = 32 * 6$  تا پارامتر خطی داریم که از LS به دست می آید. برای  $3 * 10$  تا المان که المان های mf ها می باشند از بهینه سازی غیر خطی استفاده می کنیم. در نهایت انتظار می رود SOC با گذشت زمان و با تخلیه شدن به صورت زیر در آید: در نهایت MSE های به دست آمده نشان دهنده ی کارکرد بهتر ANFIS نسبت به ANN می باشد. این مقاله حالت بار ثابت را نیز بررسی کرده است. در این حالت دیگر SOC بر حسب زمان خطی نخواهد بود. نمودار حاصله از شناسایی از روش ANFIS را مشاهده می کنیم:



همانطور که مشاهده می شود خطای تخمین به خوبی به سمت صفر رفته است. همانطور که انتظار می رفت مدل ANFIS به پاسخ مطلوب تری منتج می شود.

## نتیجه گیری :

همان طور که انتظار می رفت در مدل سازی باتری های قابل شارژ مجدد بهترین نتیجه توسط مدل ANFIS بدست آمد. البته در این مقایسه روش های خطی وجو نداشته اند ولی در مدل های عصبی ما با وارد کردن ورودی ها بطور مستقیم در خروجی یک مدل خطی بصورت موازی با یک مدل غیر خطی درایو کرده ایم، از این منظر می توان مدل خطی را نیز لحاظ نمود.

- [1] D.U. Sauer, G. Bopp, A. Jossen, et al., State-of-charge-what do we really speak about? INTELEC, 1999
- [2] S.J. Lee, J.H. Kim, J.M. Lee, and B.H. Cho, "The State and Parameter Estimation of an Li-Ion Battery Using a New OCVSOC Concept," *Power Electronics Specialists Conference, 2007. IEEE* 17-21 June 2007 Page(s):2799 - 2803
- [3] S. Abu-Sharkh, D. Doerffel, "Rapid test and non-linear model characterization of solid-state lithium-ion batteries," *Journal of Power Sources* 130 (2004) 266-274
- [4] S. Buller, M. Thele, E. Karden, and R.W. De Doncker, "Impedance-based non-linear dynamic battery modeling for automotive applications," *Journal of Power Sources* 3002( 311
- [5] G Bahhah, A.A. Girgis, Input feature selection for real-time transient stability assessment for artificial neural network (ANN) using ANN sensitivity analysis, IEEE International Conference on Power Industry Computer Applications, pp. 295-300, 1999.
- [6] C.C. Peck, A.P. Dhawan, C.M. Meyer, Genetic algorithm based input selection for a neural network functionapproximator with applications to SSME health monitoring, IEEE International Conference on Neural Networks, v01.2, pp.1115 -1122, .3991

پیوست:

نمونه کد:

```
clc;
clear;
close all;
load input2;
load output2;
```

Normalizing output data T1 = gen\_output1; T2 = gen\_output2; T3 = gen\_output3; T4 = gen\_output4;

```
T =output2;

% [gen_output1,min1,max1] = premnmx(gen_output1);
% [gen_output2,min2,max2] = premnmx(gen_output2);
% [gen_output3,min3,max3] = premnmx(gen_output3);
% [gen_output4,min4,max4] = premnmx(gen_output4);
%
cut_indx=4000;
%
% input1_tr = gen_input1(1:cut_indx)';
% output1_tr = gen_output1(1:cut_indx)';
% input1_te = gen_input1(cut_indx+1:end)';
% output1_te = gen_output1(cut_indx+1:end)';
%
% input2_tr = gen_input2(1:cut_indx)';
% output2_tr = gen_output2(1:cut_indx)';
% input2_te = gen_input2(cut_indx+1:end)';
% output2_te = gen_output2(cut_indx+1:end)';
%
% input3_tr = gen_input3(1:cut_indx)';
% output3_tr = gen_output3(1:cut_indx)';
% input3_te = gen_input3(cut_indx+1:end)';
% output3_te = gen_output3(cut_indx+1:end)';
%
% input4_tr = gen_input4(1:cut_indx)';
% output4_tr = gen_output4(1:cut_indx)';
% input4_te = gen_input4(cut_indx+1:end)';
% output4_te = gen_output4(cut_indx+1:end)';

input_tr = input2(1:4000,:);
output_tr = output2(1:4000);

input_te =input2(4001:5073,:);
output_te =output2(4001:5073);
in_reg = 3; % Number of input regressors
out_reg = 1; % Number of output regressors
lag = 1; % System delay

P_tr = [];
P_te = [];

t = lag + in_reg +out_reg;
```

```

for k = lag:in_reg+lag-1
    P_tr = [P_tr ; input_tr(:,t-k:end-k)];
end
for k = 1:out_reg
    P_tr=[P_tr ; output_tr(:,t-k:end-k)];
end

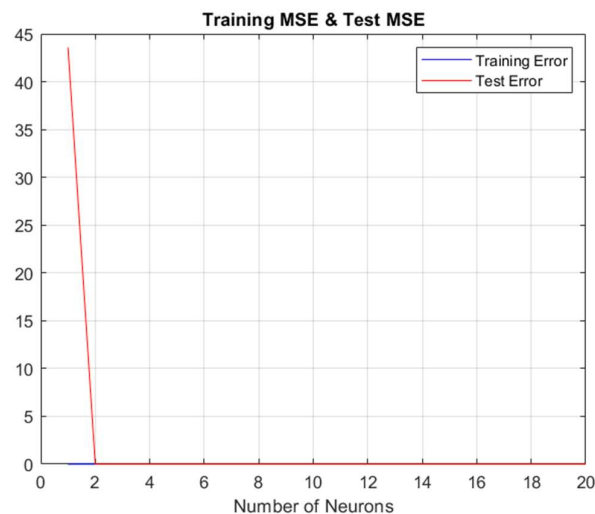
for k = lag:in_reg+lag-1
    P_te = [P_te ; input_te(:,t-k:end-k)];
end

for k = 1:out_reg
    P_te = [P_te ; output_te(:,t-k:end-k)];
end
T_tr = output_tr(:,t:end);
T_te = output_te(:,t:end);
T_train = T(:,t:cut_indx)';
T_test = T(:,cut_indx+1:end)';

number_of_neurons = 20;
input_range = minmax(P_tr);
number_of_outputs = 1;

[Model_data,Model_out_tr,W] =
train_lolimot(P_tr',T_tr(1,:)',P_te',T_te(1,:)',input_range,number_of_outputs,number_of_neurons,0);

```



```

[Error,Model_out_te] = sim_lolimot(Model_data,W,P_te',T_te(1,:)' );

```

```

MSE_tr = mse(Model_out_tr-T_tr(1,:));
MSE_te = mse(Model_out_te-T_te(1,:));

```

```

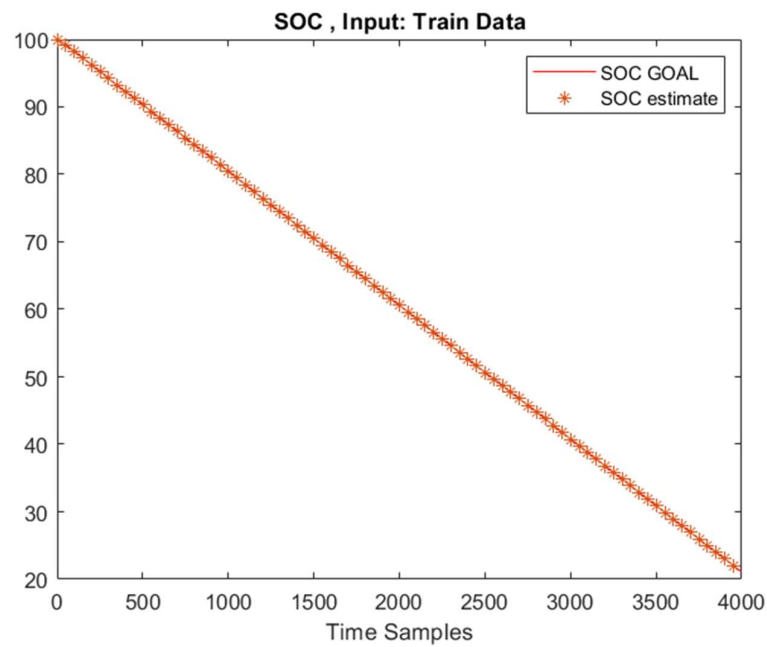
figure
plot(1:length(T_tr(1,:)),T_tr(1,:), 'r');
hold on;
plot(1:50:length(T_tr(1,:)),Model_out_tr(1:50:end), '*')
legend('SOC GOAL','SOC estimate')

```

```

title('SOC , Input: Train Data')
xlabel('Time Samples')

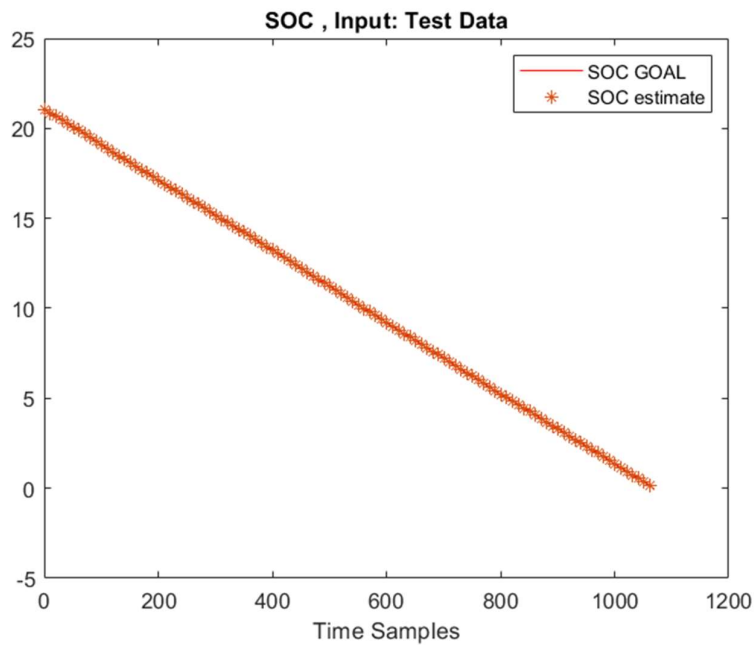
```



```

figure
plot(1:length(T_te(1,:)),T_te(1,:), 'r');
hold on;
plot(1:10:length(T_te(1,:)),Model_out_te(1:10:end), '*')
legend('SOC GOAL','SOC estimate')
title('SOC , Input: Test Data')
xlabel('Time Samples')

```



```

figure(4)
plot(1:length(T_tr),T_tr(1,:)-Model_out_tr','r')
title('error between Output train Data & Network Output for train data')
%legend('Real Output')
xlabel('Time Samples')

hold on

plot(length(T_tr)+1:length(T_tr)+length(T_te),T_te-Model_out_te','b')
title('error between Output Test Data & Network Output for test data')
%legend('Real Output')
xlabel('Time Samples')

```

